

FORMULÁRIO:

$$\sigma = \frac{P}{A} \quad \sigma = \lim_{\Delta A \rightarrow 0} \frac{\Delta F}{\Delta A} \quad \tau_{média} = \frac{V}{A} \quad \tau = \lim_{\Delta A \rightarrow 0} \frac{\Delta V}{\Delta A} \quad \tau_{xy} = \tau_{yx}$$

$$\sigma_{esmagamento} = \frac{F}{A_{projectada}} \quad \sigma = \frac{P}{A_0} \cos^2 \theta \quad \tau = \frac{P}{A_0} \cos \theta \sin \theta$$

$$\varepsilon = \frac{d\delta}{dx} \quad \sigma = E\varepsilon \quad \varepsilon_T = \alpha \Delta T \quad \delta_T = L \cdot \alpha \cdot \Delta T$$

$$\delta = \frac{PL}{AE} \quad \delta = \sum_i \frac{P_i L_i}{A_i E_i} \quad \delta = \int_0^L \frac{P}{AE} dx$$

$$\varepsilon_x = \frac{\sigma_x}{E} - \nu \frac{\sigma_y}{E} - \nu \frac{\sigma_z}{E} \quad \varepsilon_y = -\nu \frac{\sigma_x}{E} + \frac{\sigma_y}{E} - \nu \frac{\sigma_z}{E} \quad \varepsilon_z = -\nu \frac{\sigma_x}{E} - \nu \frac{\sigma_y}{E} + \frac{\sigma_z}{E}$$

$$\tau_{xy} = G\gamma_{xy} \quad \tau_{yz} = G\gamma_{yz} \quad \tau_{xz} = G\gamma_{xz} \quad G = \frac{E}{2(1+\nu)}$$

$$\gamma = \frac{\rho \phi}{L} \quad \tau = \frac{T\rho}{J}$$

$$\phi = \frac{TL}{JG} \quad \phi = \sum_i \frac{T_i L_i}{J_i G_i} \quad \phi = \int_0^L \frac{T}{JG} dx$$

$$\phi_B r_B = \phi_A r_A \quad \frac{T_B}{r_B} = \frac{T_A}{r_A} \quad P = T\omega \quad \omega = 2\pi f$$

$$\frac{l}{\rho} = \frac{M}{EI} \quad \frac{1}{\rho} = \frac{\nu}{\rho} \quad \sigma_x = -\frac{My}{I} \quad \sigma_x = \frac{P}{A} - \frac{My}{I}$$

$$\sigma_x = \frac{P}{A} - \frac{M_z y}{I_z} + \frac{M_y z}{I_y} \quad \tan \phi = \frac{I_z}{I_y} \tan \theta$$

$$\sigma_{\max} = K \frac{P}{A} \quad \tau_{\max} = K \frac{Tc}{J} \quad \sigma_{\max} = K \frac{Mc}{I}$$

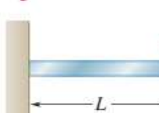
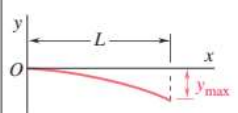
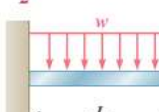
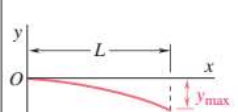
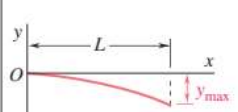
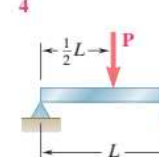
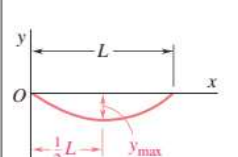
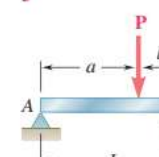
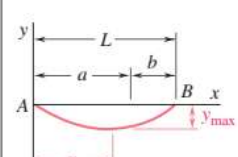
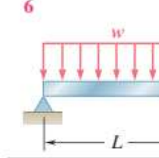
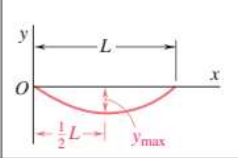
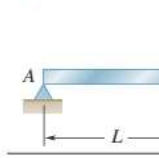
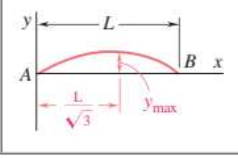
$$q = \frac{VQ}{I} \quad \tau = \frac{VQ}{It} \quad Q = A^* \bar{y} \text{ ou } Q = A^* \bar{z} \quad \tau = \frac{3}{2} \frac{V}{A}$$

$$e = \frac{Fh}{V} \quad F = \int_0^b q ds$$

$$\frac{dV}{dx} = -w(x) \quad \frac{dM}{dx} = V \quad \frac{d^2 M}{dx^2} = -w(x)$$

$$V_D - V_c = - \int_{x_C}^{x_D} w dx \quad M_D - M_c = \int_{x_C}^{x_D} V dx$$

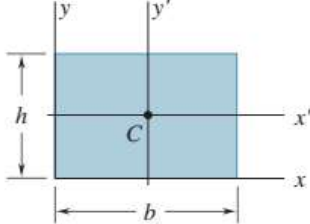
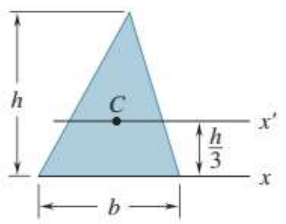
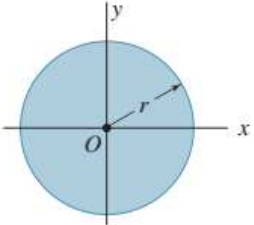
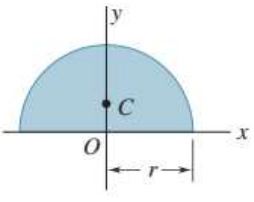
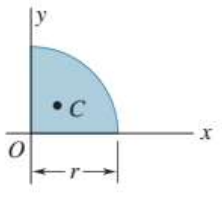
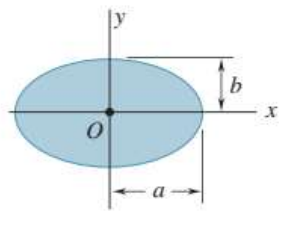
$$\frac{1}{\rho} = \frac{M(x)}{EI} \quad EI \frac{d^2 y}{dx^2} = M(x) \quad EI \frac{d^4 y}{dx^4} = -w(x)$$

Beam and Loading	Elastic Curve	Maximum Deflection	Slope at End	Equation of Elastic Curve
1 		$-\frac{PL^3}{3EI}$	$-\frac{PL^2}{2EI}$	$y = \frac{P}{6EI} (x^3 - 3Lx^2)$
2 		$-\frac{wL^4}{8EI}$	$-\frac{wL^3}{6EI}$	$y = -\frac{w}{24EI} (x^4 - 4Lx^3 + 6L^2x^2)$
3 		$-\frac{ML^2}{2EI}$	$-\frac{ML}{EI}$	$y = -\frac{M}{2EI} x^2$
4 		$-\frac{PL^3}{48EI}$	$\pm \frac{PL^2}{16EI}$	For $x \leq \frac{1}{2}L$: $y = \frac{P}{48EI} (4x^3 - 3L^2x)$
5 		For $a > b$: $-\frac{Pb(L^2 - b^2)^{3/2}}{9\sqrt{3}EI L}$ at $x_m = \sqrt{\frac{L^2 - b^2}{3}}$	$\theta_A = -\frac{Pb(L^2 - b^2)}{6EI L}$ $\theta_B = +\frac{Pa(L^2 - a^2)}{6EI L}$	For $x < a$: $y = \frac{Pb}{6EI L} [x^3 - (L^2 - b^2)x]$ For $x = a$: $y = -\frac{Pa^2b^2}{3EI L}$
6 		$-\frac{5wL^4}{384EI}$	$\pm \frac{wL^3}{24EI}$	$y = -\frac{w}{24EI} (x^4 - 2Lx^3 + L^3x)$
7 		$\frac{ML^2}{9\sqrt{3}EI L}$	$\theta_A = +\frac{ML}{6EI}$ $\theta_B = -\frac{ML}{3EI}$	$y = -\frac{M}{6EI L} (x^3 - L^2x)$

Centroids of Common Shapes of Areas and Lines

Shape	\bar{x}	\bar{y}	Area
Triangular area		$\frac{h}{3}$	$\frac{bh}{2}$
Quarter-circular area		$\frac{4r}{3\pi}$	$\frac{\pi r^2}{4}$
Semicircular area		$\frac{4r}{3\pi}$	$\frac{\pi r^2}{2}$
Semiparabolic area		$\frac{3a}{8}$	$\frac{2ah}{3}$
Parabolic area		$\frac{3h}{5}$	$\frac{4ah}{3}$
Parabolic spandrel		$\frac{3a}{4}$	$\frac{ah}{3}$
Circular sector		$\frac{2r \sin \alpha}{3\alpha}$	αr^2
Quarter-circular arc		$\frac{2r}{\pi}$	$\frac{\pi r}{2}$
Semicircular arc		$\frac{2r}{\pi}$	πr
Arc of circle		$\frac{r \sin \alpha}{\alpha}$	$2\alpha r$

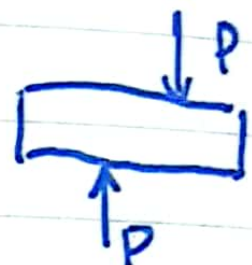
Moments of Inertia of Common Geometric Shapes

Rectangle	 <p>A diagram of a rectangle of width b and height h. A horizontal axis of rotation passes through the center of mass C, which is at a distance $\frac{h}{2}$ from both the left and right edges. The center of mass is also the geometric center of the rectangle.</p>	$\bar{I}_{x'} = \frac{1}{12}bh^3$ $\bar{I}_{y'} = \frac{1}{12}b^3h$ $I_x = \frac{1}{3}bh^3$ $I_y = \frac{1}{3}b^3h$ $J_C = \frac{1}{12}bh(b^2 + h^2)$
Triangle	 <p>A diagram of a triangle of base b and height h. A horizontal axis of rotation passes through the center of mass C, which is at a height of $\frac{h}{3}$ from the base. The center of mass is located one-third of the way up from the base to the apex.</p>	$\bar{I}_{x'} = \frac{1}{36}bh^3$ $I_x = \frac{1}{12}bh^3$
Circle	 <p>A diagram of a full circle of radius r. A horizontal axis of rotation passes through the center O.</p>	$\bar{I}_x = \bar{I}_y = \frac{1}{4}\pi r^4$ $J_O = \frac{1}{2}\pi r^4$
Semicircle	 <p>A diagram of a semicircle of radius r. A horizontal axis of rotation passes through the center of mass C, which is at a height of $\frac{r}{8}$ from the base. The center of mass is located one-eighth of the way up from the base to the top of the semicircle.</p>	$I_x = I_y = \frac{1}{8}\pi r^4$ $J_O = \frac{1}{4}\pi r^4$
Quarter circle	 <p>A diagram of a quarter circle of radius r. A horizontal axis of rotation passes through the center of mass C, which is at a height of $\frac{r}{16}$ from the base. The center of mass is located one-sixteenth of the way up from the base to the top of the quarter circle.</p>	$I_x = I_y = \frac{1}{16}\pi r^4$ $J_O = \frac{1}{8}\pi r^4$
Ellipse	 <p>A diagram of an ellipse with semi-major axis a and semi-minor axis b. A horizontal axis of rotation passes through the center O.</p>	$\bar{I}_x = \frac{1}{4}\pi ab^3$ $\bar{I}_y = \frac{1}{4}\pi a^3b$ $J_O = \frac{1}{4}\pi ab(a^2 + b^2)$

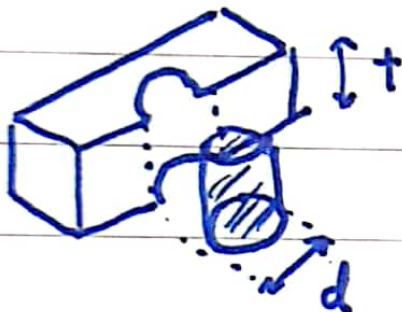
Tensão de corte média e tensão de esmagamento

$$\tau_{\text{média}} = \frac{P}{A}$$

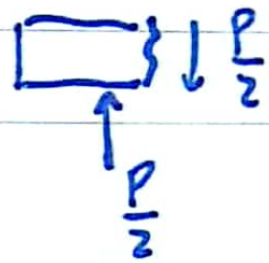
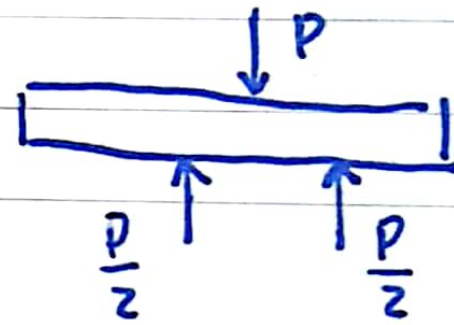
corte simples: $\tau_{\text{média}} = \frac{F}{A}$



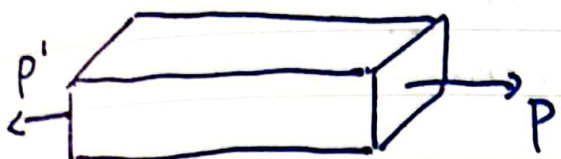
tensão
esmagamento $\sigma = \frac{P}{A} = \frac{F_{\text{pímo}}}{t+d}$



corte duplo: $\tau_{\text{média}} = \frac{F}{\frac{z}{2}} = \frac{F}{\frac{2A}{2}}$

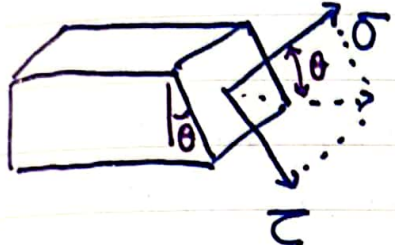


Tensões em plântano oblíquo e corte axial



Se $\theta = 0$, tensão normal é máxima:

$$\sigma_{\max} = \frac{P}{A_0}$$



$$\sigma = \frac{F}{A_\theta} = \frac{P \cos \theta}{A_0 / \cos \theta} = \frac{P \cos^2 \theta}{A_0}$$

$$\tau = \frac{V}{A_0} = \frac{P \sin \theta}{A_0 / \cos \theta} = \frac{P}{A_0} \sin \theta \cos \theta$$

$$A_\theta = \frac{A_0}{\cos \theta}$$

Falha Primária

Frágil
fulho de tensão
é primária

ocorre quando

$$\theta = 0$$

$$\left\{ \begin{array}{l} \sigma = \text{máx} \\ \tau = 0 \end{array} \right.$$

Ducteis
fulho de corte
é primária

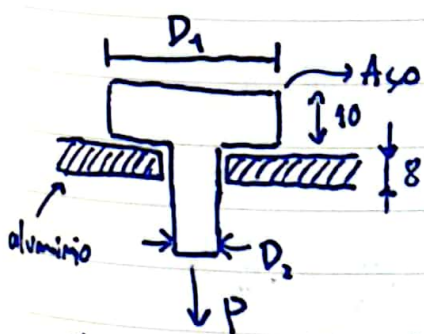
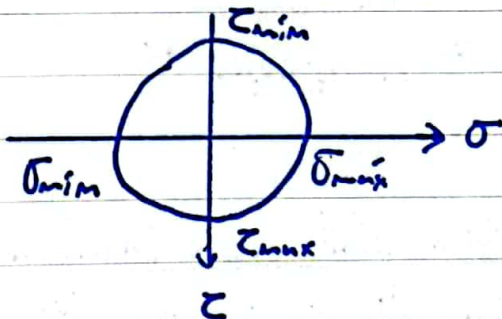
ocorre quando

$$\theta = \frac{\pi}{4}$$

$$\left\{ \begin{array}{l} \sigma = 0 \\ \tau = \text{máx} \end{array} \right.$$

Se $\theta = 45^\circ$ a tensão de corte é máxima:

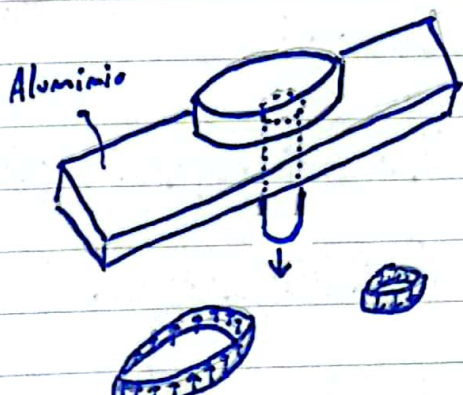
$$\tau_{\max} = \frac{P}{2A_0}$$



$$\tau_{45} = \frac{P}{\pi D_2 10}$$

$$\tau_{alv} = \frac{P}{\pi D_1 8}$$

Alumínio sofre corte da área do aço
Aço sofre corte da área de alumínio



Coeficiente de segurança:

$$FS = \frac{\sigma_u}{\sigma_{all}} = \frac{\text{tensão máxima}}{\text{tensão admissível}}$$

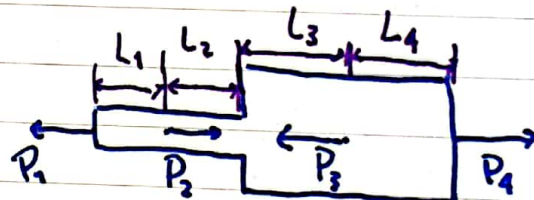
Princípio da Sobreposição

Quando vários múltiplos atuam num material elástico, a deformação resultante é igual à soma das deformações individuais causadas por cada carga.

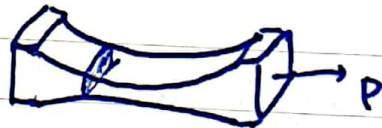
$$\delta = E \varepsilon \Leftrightarrow \varepsilon = \frac{\delta}{E} = \frac{P}{AE} \quad \varepsilon = \frac{f}{L} \Rightarrow f = \frac{PL}{AE}$$

\nearrow Normal

$$\delta = \sum_i \frac{P_i L_i}{A_i E_i}$$

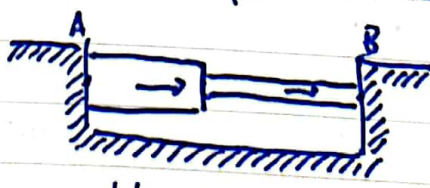


$$\hookrightarrow \delta = \int_0^L \frac{P(x)}{A(x)E(x)} dx$$



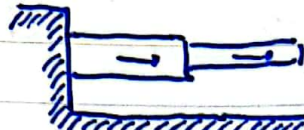
Estrutura estaticamente indeterminada: Quando uma estrutura tem mais suposições do que os necessários para o equilíbrio

Exemplo:

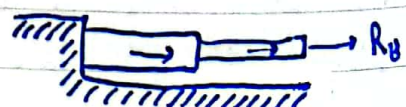


Usar método da superposição para obter R_A e R_B

① Retirar apoio em B e calcular $\delta_B^{(1)}$

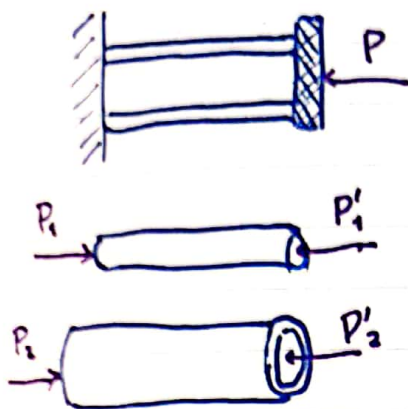


② Calcular $\delta_B^{(2)}$ causado pela reação em B



③ $\delta_B^{(1)} + \delta_B^{(2)} = 0$, chegar a R_B

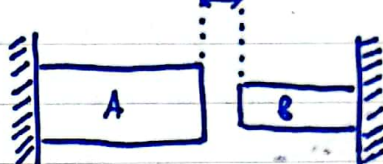
Problema dos materiais paralelos



$$\left\{ \begin{array}{l} P = P_1 + P_2 \\ \delta_1 = \delta_2 \end{array} \right.$$

Not.: se tiverem temperaturas $\delta_{T_1} + \delta_{P_1} = \delta_{AT_2} + \delta_{P_2}$

Se $\alpha_1 > \alpha_2$ → compressão → trânsito



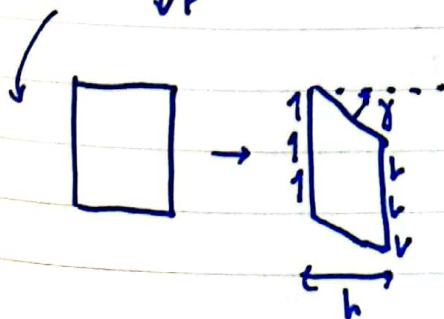
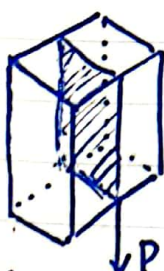
$$\varepsilon_T = \alpha \Delta T$$

$$\delta_T = L \cdot \alpha \cdot \Delta T$$

Se $\delta_{T_A} + \delta_{T_B} > x$ logo
não aparecer deslocamentos
provocados por forças

$$x = \delta_{T(A)} + \delta_{P(A)} + \delta_{T(B)} + \delta_{P(B)}$$

Distorções de corte



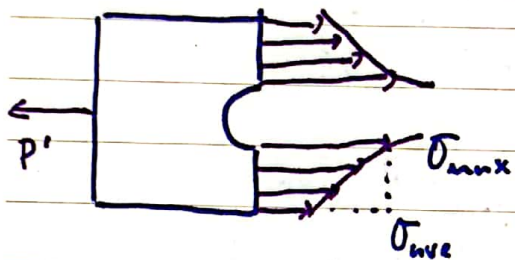
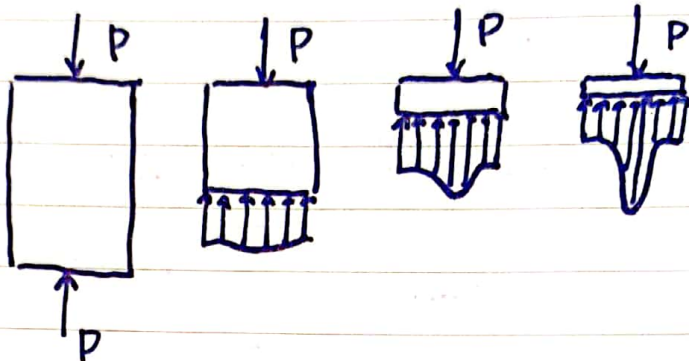
$$G = \frac{E}{2(1+\nu)}$$

$$\tau_{média} = \frac{P}{A_{corte}} = G y$$

sendo G , o módulo de corte

Princípio de Saint-Venant's

A distribuição das tensões é independente do ponto de aplicação da carga excepto na proximidade do ponto de aplicação



fator concentração tensões: $K = \frac{\sigma_{\text{max}}}{\sigma_{\text{medio}}}$

① Calcular $\frac{D}{d}$ e $\frac{r}{d}$

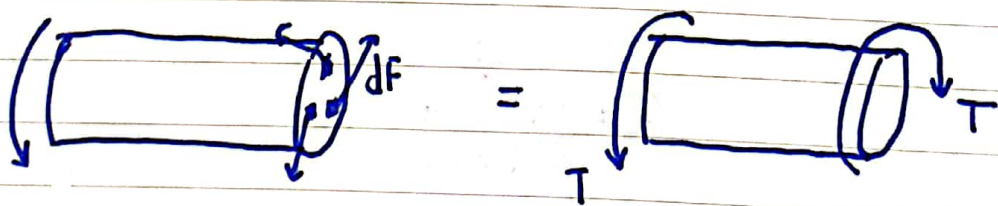
Distribuição de tensões num furo circular

② Ver o K no gráfico

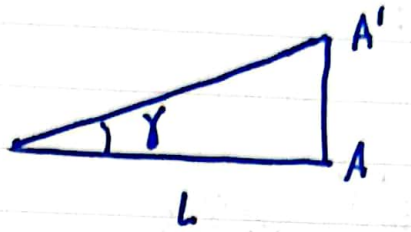
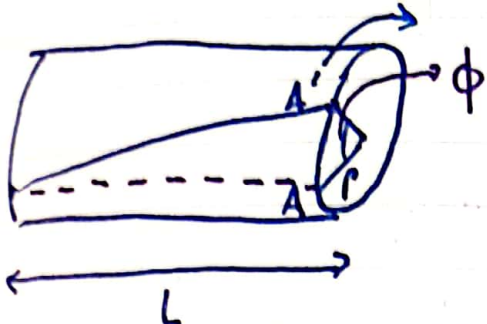
③ Calcular σ_{ave}

④ $P = A \bar{\sigma}_{\text{ave}}$, chegar a P

Torção:



$$T = \int r dF = \int r (\tau dA)$$



$$\tan \gamma \approx \gamma$$

$$AA' = \phi r$$

$$\gamma = \frac{r\phi}{L} \quad e \quad \gamma_{\max} = \frac{C\phi}{L}$$

Usando (1):

$$T = \int \rho \tau dA$$

$$\hookrightarrow T = \frac{\tau_{\max}}{c} \int \rho^2 dA$$

$$\hookrightarrow T = \frac{\tau_{\max}}{c} J$$

$$\hookrightarrow \boxed{\tau_{\max} = \frac{Tc}{J}}$$

$$\downarrow$$

$$\gamma = \frac{\gamma_{\max} r}{c}$$

$$\hookrightarrow G\gamma = \frac{r}{c} G\gamma_{\max}$$

$$\hookrightarrow \boxed{\tau = \frac{r}{c} \tau_{\max}} \quad \begin{matrix} \tau = G\gamma \\ (\text{Lei Hooke}) \end{matrix}$$

(1)

Usando $\gamma_{\max} = \frac{C\phi}{L}$ e $\gamma_{\max} = \frac{\tau_{\max}}{G}$, obtém-se

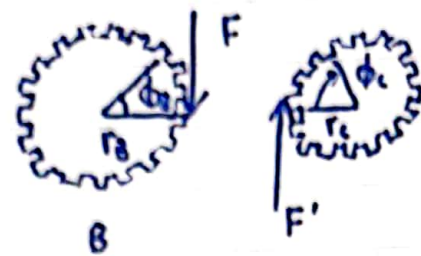
$$\boxed{\phi = \frac{TL}{JG}}$$

$$\rightarrow \phi = \int_0^L \frac{T(x)}{J(x)G(x)} dx = \sum_{i=1}^m \frac{T_i L_i}{J_i G_i}$$

rotação

Nota: São os pontos mais exteriores que resistem à maior parte da torção. Daí se normalmente usarem tubos ocos.

Engrenagens:



$$T_B = F \cdot r_B$$

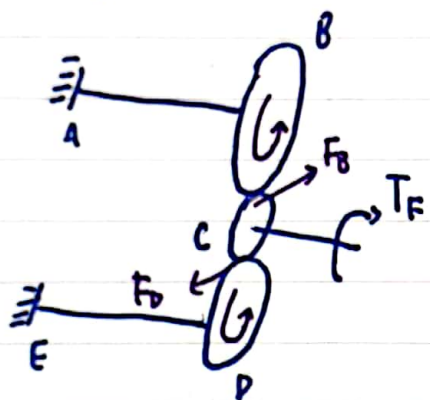
$$T_C = F' \cdot r_C$$

$$F = F' \Rightarrow \frac{T_B}{r_B} = \frac{T_C}{r_C}$$

$$\phi_B r_B = \phi_C r_C$$

⇒ As engrenagens invertem o sentido da rotação

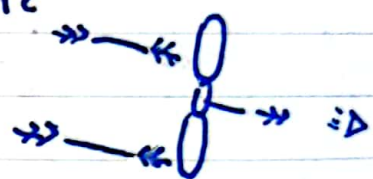
Exemplo:



$$T_F = F_D \cdot r_C + F_B r_C$$

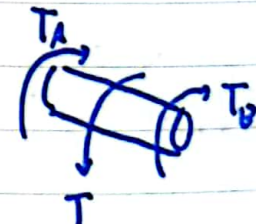
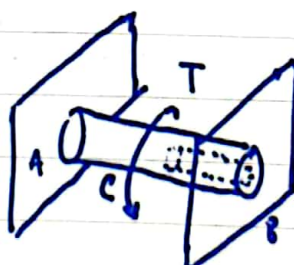
$$= \frac{T_D}{r_D} \cdot r_C + \frac{T_B}{r_B} r_C$$

$$\phi_{AB} = \phi_{ED}$$



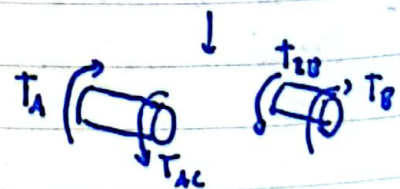
Vejos estaticamente indeterminados

$$T_A + T_B = T$$

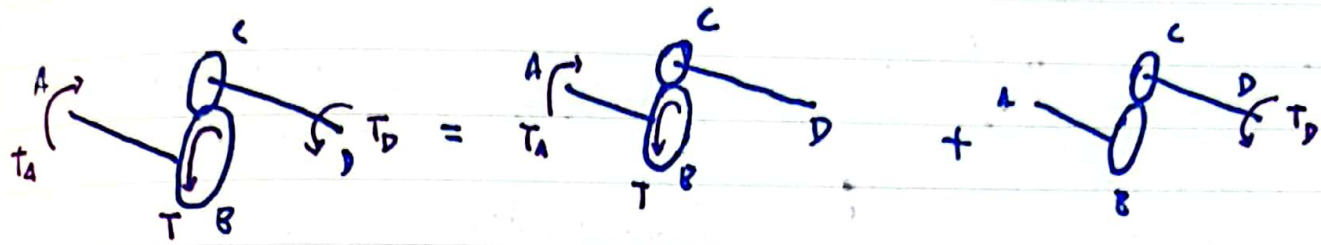


$$\phi_{AB} = \phi_{AC} + \phi_{CB}$$

$$= \frac{T_A L_{AC}}{J_{AC} G_{AC}} - \frac{(T_A - T) L_{CB}}{J_{CB} G_{CB}} = 0 \Rightarrow \phi_{AC} = \phi_{CB}$$



exemplo usando método da superposição:



$$\phi_D^0 + \phi_D^0 = 0$$

$$\phi_{AD}^0 = \frac{r_B}{r_c} \phi_{AB} + \phi_{CD}^0$$

$$\phi_D^0 = \frac{r_B}{r_c} \phi_{AB}$$

$$\phi_{AD} = \frac{r_B}{r_c} \phi_{AB} + \phi_{CD}$$

$$\phi_D = \frac{r_B}{r_c} \phi_{AB} + \phi_{CD}$$

Projeção de veios:

$$P = T w = 2\pi f T$$

$\begin{matrix} T \\ \downarrow \\ \text{potência} \end{matrix} \quad \begin{matrix} w \\ \downarrow \\ \text{velocidade} \\ \text{de rotação} \end{matrix}$

Determinar o binário aplicado no veio para a potência e velocidade de rotação

$$T_{max} = \frac{T_c}{J}$$

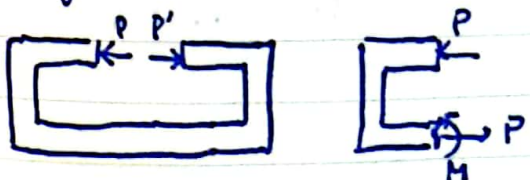
Encontrar a seção transversal que não excede a tensão de corte admissível

Exercício:

Flexão Pura: Membros prismáticos sujeitos a momentos iguais e opostos atuando no plano longitudinal



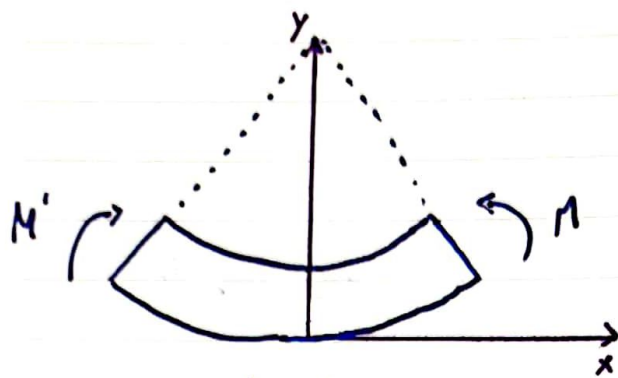
• Cargaamento exêntrico



• Cargaamento transversal



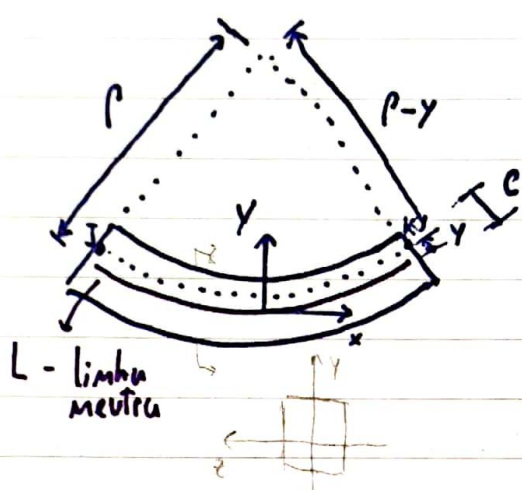
cargas transversais



Tensão negativa
(acima sup. neutra) \rightarrow Compressão

Superfície neutra \rightarrow Comprimento da linha não se altera

Tensão positiva
(abaixo sup. neutra) \rightarrow Tracção



$$L = \rho\theta, \text{ em JK} \quad L' = (\rho - y)\theta$$

$$\delta = L' - L = (\rho - y)\theta - \rho\theta = -y\theta$$

$$\epsilon_x = \frac{\delta}{L} = -\frac{y\theta}{\rho\theta} = -\frac{y}{\rho}$$

Para $y=c$:

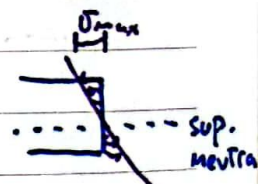
$$\epsilon_{max} = \frac{c}{\rho} \Rightarrow$$

$$\epsilon_x = -\frac{y}{c} \epsilon_{max}$$

explicação da tensão
variar linearmente

$$\sigma_x = E \epsilon_x = -\frac{y}{c} E \epsilon_{max} \Rightarrow$$

$$\sigma_x = -\frac{y}{c} \sigma_{max}$$



$$F_x = \int \sigma_x dA = -\frac{\sigma_{max}}{c} \int y dA = 0$$

O primeiro momento é nulo
(na L.N.)

$$\sigma_{x_{max}} = \frac{Mc}{I}$$

$$M = \int (-y \sigma_x dA) = \frac{\sigma_{max}}{c} \int y^2 dA = \frac{\sigma_{max} I}{c} \Rightarrow M = \frac{\sigma_{max} I}{c}$$

$$S = \frac{I}{c}$$



\Rightarrow Para áreas iguais é + resistente à flexão o que tiver maior h

Módulo elástico
da secção

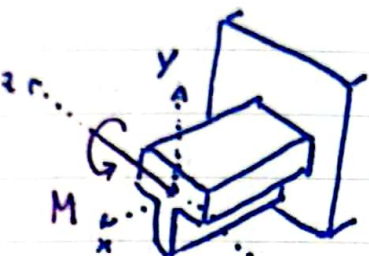
$$\frac{1}{\rho} \rightarrow \text{curvatura}$$

$$\Delta_m = E \epsilon_m$$

$\rho \rightarrow$ raio de curvatura

$$\frac{1}{\rho} = \frac{\epsilon_m}{E} \Rightarrow \frac{1}{\rho} = \frac{\Delta_m}{E}$$

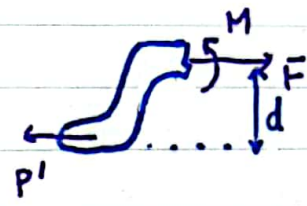
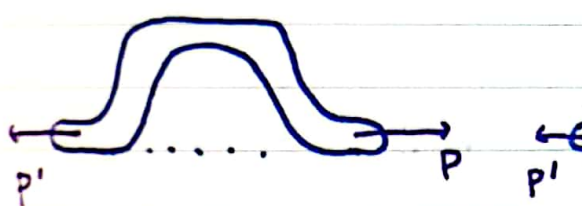
Nota:



aqui ω_m tem que ser o eixo z com direção oposta

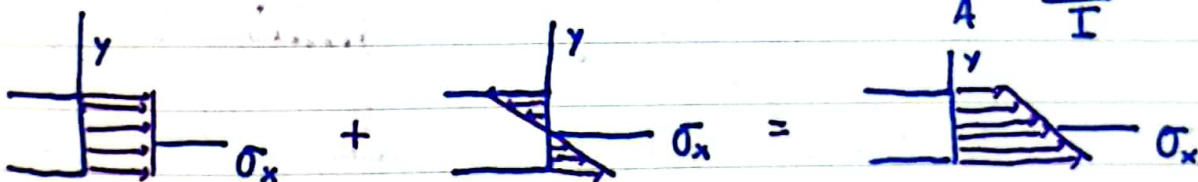
$$\frac{1}{\rho} = \frac{M}{EI}$$

Flexão descentralizada:



$$\sigma_x = (\sigma_x)_{\text{axial}} + (\sigma_x)_{\text{flexão}}$$

$$= \frac{P}{A} - \frac{My}{I}$$



Distribuição das tensões em carregamento excentrico
(só é válido se as tensões não afetarem a geometria inicial da peça)

Flexão não-simétrica:

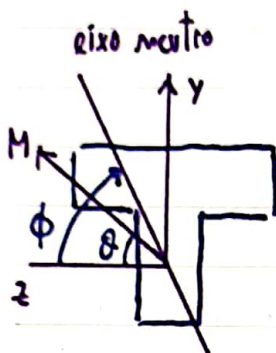
$$M_z = M \cos \theta \quad M_y = M \sin \theta$$

Sobrepor as duas e aí só haja força axial:

$$\sigma_x = \frac{P}{A} - \frac{M_z y}{I_z} + \frac{M_y z}{I_y}$$

Chegar ao eixo neutro:

$$\sigma_x = 0 \Rightarrow 0 = \frac{P}{A} - \frac{M_z Y}{I_z} + \frac{M_y z}{I_y}$$



$$\Rightarrow \tan \phi = \frac{y}{z} = \frac{I_z}{I_y} \cdot \tan \theta$$

angulo entre z e o eixo neutro

angulo entre z e o momento M

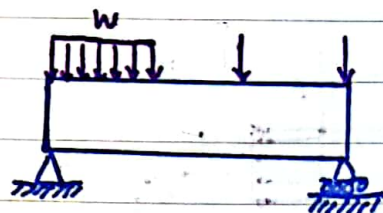
$$\tan \phi = \frac{I_z}{I_y} \tan \theta$$

Análise de vigas à flexão

Vigas - membros estruturais que suportam cargas em vários pontos ao longo do comprimento

Variação
Tensão corte

$$V_z - V_1 = - \int_{x_1}^{x_2} w dx$$



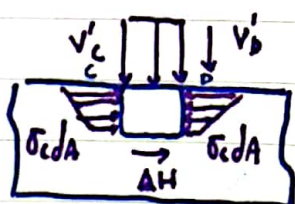
Variação
Momento
transverso

$$M_z - M_1 = \int_{x_1}^{x_2} V dx$$

$$V(x) = \int w(x) dx$$

$$M(x) = \int V(x) dx$$

Tensão de corte em Vigas:



$$\sum F_x = 0 = -\Delta H + \int_A (\sigma_b - \sigma_c) dA$$

$$\Delta H = \frac{M_D - M_C}{I} \int_A y dA$$

Pensar nas placas de madeira que deslizam sem cola mas com cola não (cria-se tensão de corte horizontal)

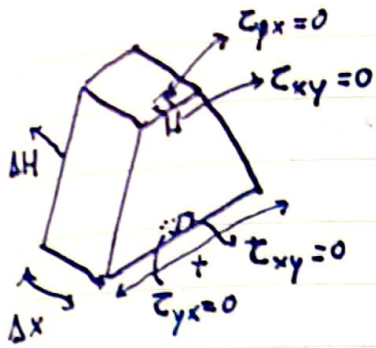
$$M_D - M_C = \frac{dM}{dx} \quad \Delta x = V \Delta x$$

$$q = \frac{\Delta H}{\Delta x} = \frac{VQ}{I}$$

1º momento de área

fluxo de corte

ΔH - é uma força interna

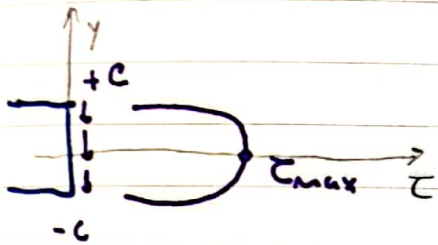


⇒ Enquanto largura "pequena" relativamente à altura, tensões do corte variam pouco relativamente a t .

$$\tau_{\text{media}} = \frac{\Delta H}{\Delta A} = \frac{q \Delta x}{\Delta A} = \frac{VQ}{I} \frac{\Delta x}{t \Delta x} \Rightarrow$$

$$\boxed{\tau_{\text{media}} = \frac{VQ}{It}}$$

Tensão de corte média



As tensões são pequenas mas abus ($t \uparrow \uparrow$) e elevadas na alma ($t \downarrow \downarrow$)

No caso de uma seção retangular:

$$\boxed{\tau_{xy} = \frac{3}{2} \frac{V}{A} \left(1 - \frac{y^2}{c^2} \right)}$$

$$\boxed{\tau_{\text{max}} = \frac{3}{2} \frac{V}{A}}$$

Para vigas de seção I:



$$\boxed{\tau_{\text{media}} = \frac{VQ}{It}}$$

$$\boxed{\tau_{\text{max}} = \frac{V}{A_{\text{web}}}}$$

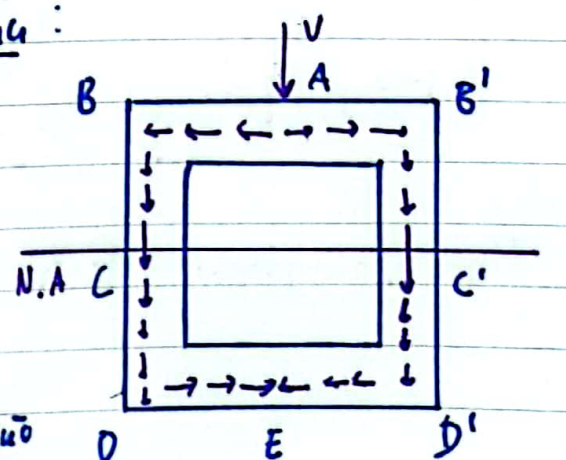
⇒ Os efeitos da forma de aplicação de carga são insignificantes exceto nas imediações dos pontos de aplicação desses mesmos cargas

Tensão de corte em vigas de purede fina:

$$F_z = \int \tau_{xz} dA = F_{AB} + F_{AB'} + F_{ED} + F_{ED'} = 0$$

$$F_y = \int \tau_{xy} dA = - (F_{ED} + F_{E'D'}) = -V$$

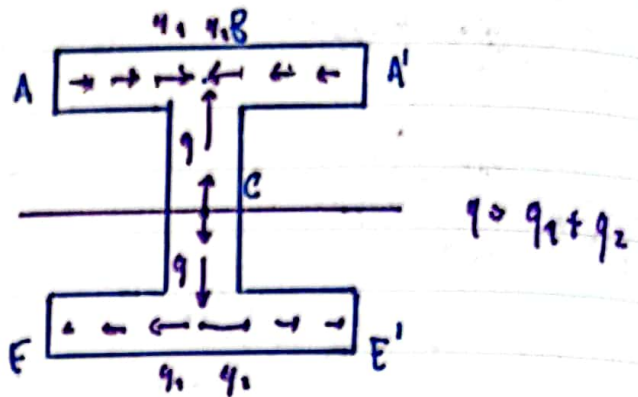
A variação do fluxo de corte ao longo da seção só depende do variação do momento de inércia



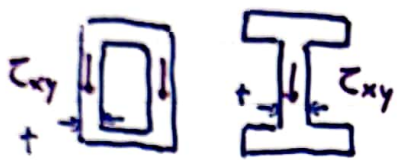
Numa viga em I:

$$F_y = -V$$

$$F_z = 0$$

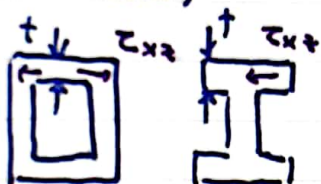


Nota importante:



$\tau_{xy} \approx 0$, porque nas faces sup e inf $\tau_{xy} \approx 0$ e "Q" será pequeno e "t" grande logo podem desrespeitarse
(Nas abas)

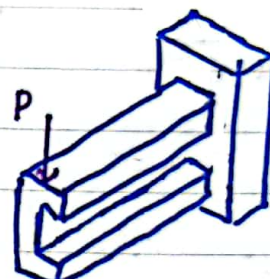
Além disso,



$\tau_{xz} \approx 0$ na alma pelos mesmos motivos
(Na alma)

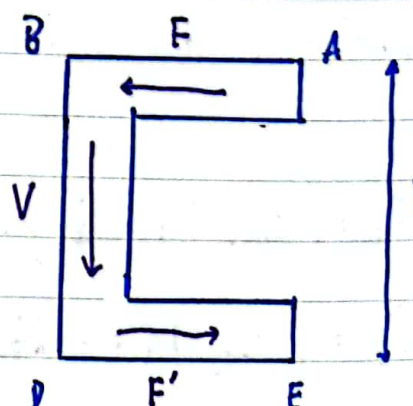
Carregamento não simétrico (Centro de corte)

Quando o carregamento é aplicado fora do plumo de simetria a viga é deformada por flexão e por torsão



$$F = \int_A^B q \, ds$$

$$V = \int_B^D q \, ds$$

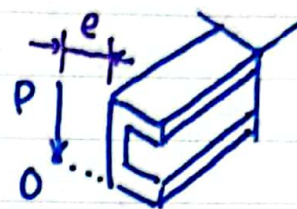


$$\text{Momento torsor} = F \cdot h$$

Para que não haja torção, a curva vertical tem de ser aplicada num ponto que contrarie o momento torçor

$$V \times e = F \times h \Leftrightarrow$$

$$e = \frac{F \times h}{V}$$



Componentes sujeitos a cargas combinadas:

3 componentes de força

força axial

2 esforços transversos

Contribuem para tensões de corte

Contribuem para tensões normais

3 componentes de momento

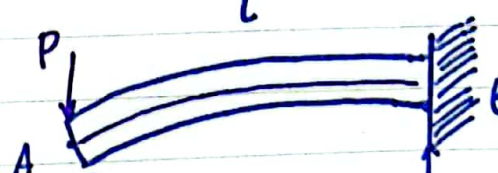
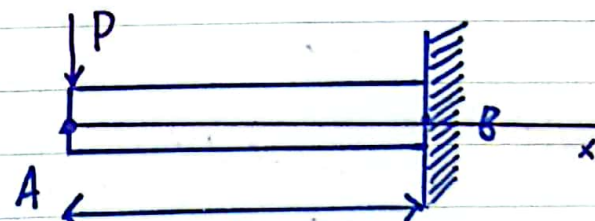
momento torçor

2 momentos fletores

Deformentação de vigas:

A curvatura ao longo da viga:

$$\frac{1}{r} = \frac{M(x)}{EI}$$



$$\text{em } A: \frac{1}{r_A} = 0 \Rightarrow r_A = \infty$$

$$\text{em } B: r_B = \frac{EI}{PL}$$

A curvatura de $y(x)$ é dada por:

$$\frac{d^2y}{dx^2} = \frac{M(x)}{EI}$$

Integrando 1x termos a rotação:

$$\theta_{(x)} = \frac{dy(x)}{dx} = \int_0^x \frac{M(x)}{EI} dx + C_1$$

$$\boxed{\theta_{(x)} = \frac{dy(x)}{dx}}$$

Integrando 2x termos a deformada:

$$y_{(x)} = \int_0^x \left(\int_0^x \frac{M(x)}{EI} dx \right) dx + C_1 x + C_2$$

$$\boxed{y_{(x)} = \frac{d^2y}{dx^2}}$$

$$\boxed{\theta_{(x)} = \int_0^x \frac{M(x)}{EI} dx + B_1}$$

$$\boxed{y_{(x)} = \int_0^x \left[\int_0^x \frac{M(x)}{EI} dx \right] dx + B_1 x + B_2}$$

Rotação

Deformada

→ As constantes determinam-se com as condições de fronteira

$$\boxed{V(x) = \frac{dy^3(x)}{dx^3}} \quad (\Rightarrow V(x) = \int_0^x \left[\int_0^x \left[\int_0^x \frac{M(x)}{EI} dx \right] dx \right] dx + \frac{B_1 x^2}{2} + B_2 x + B_3)$$

Esforço Transverso

$$\boxed{W(x) = -\frac{d^4 y(x)}{dx^4}} \quad (\Rightarrow W(x) = \int_0^x \left[\int_0^x \left[\int_0^x \left[\int_0^x \frac{M(x)}{EI} dx \right] dx \right] dx \right] dx$$

$$+ \frac{B_1 x^3}{3} + \frac{B_2 x^2}{2} + B_3 x + B_4$$

Carga distribuída